

طراحی و شبیه‌سازی یک سامانه رادار مولتی استاتیک و بهینه‌سازی محل قرار گرفتن ایستگاه‌های رادار با استفاده الگوریتم ژنتیک چند منظوره

شهرام مهنا^{*}، سیدسعید توکلی افشاری^۱، لاله سیدکلانتری^۲

۱- دانشیار، ۳- کارشناس ارشد، دانشکده برق و کامپیوتر، دانشگاه سیستان و بلوچستان، زاهدان

(دریافت: ۱۳۹۰/۰۳/۲۲، پذیرش: ۱۳۹۰/۱۲/۲۰)

چکیده

امروزه، استفاده از رادارهای مولتی استاتیک کاربرد فراوانی در تامین امنیت مرزها، سامانه‌های ناوبری کشتی، کنترل ترافیک، موقعیت‌یاب محلی و تشخیص اهداف زمینی یافته است. در این مقاله یک رادار مولتی استاتیک طراحی و شبیه‌سازی شده است که در فضای سه‌بعدی قادر به آشکارسازی اجسام پرنده در ناحیه تحت پوشش، محاسبه مکان و سرعت، مسیر و تشخیص نوع با محاسبه سطح مقطع راداری آن است. با توجه به تأثیر محل قرار گرفتن ایستگاه‌های رادار در میزان سطح سیگنال به نویز و سطح پوشش رادار، در این مقاله محل قرار گرفتن ایستگاه‌های رادار نیز با استفاده از بهینه‌سازی الگوریتم ژنتیک چندمنظوره بهینه‌سازی شده است، به‌گونه‌ای که با کمترین تعداد ایستگاه فرستنده و گیرنده، بیشترین میزان سیگنال به نویز و سطح پوشش رادار در فضای سه‌بعدی دست یابد.

کلیدواژه‌ها: اثر دابلر، الگوریتم ژنتیک چندمنظوره، رادار با استاتیک، رادار مولتی استاتیک.

Design and Simulation of a Multistatic Radar System and Optimizing the Radar Sites Positions Using Multiobjective Genetic Algorithms

S. Mohanna^{*}, L. S. Kalantari, S. Tavakoli

Faculty of Electrical and Computer Engineering, University of Sistan and Baluchestan, Zahedan

(Received: 05/14/2011, Accepted: 03/10/2012)

Abstract

Multistatic radar systems have many applications such as homeland security, anti-air defense, anti-missile defense, and ground target detection. In this article, a multistatic radar system, capable of detecting a flying object within the coverage area and computing its position and velocity in a three-dimensional coordinate system, is simulated. Calculating the radar cross section, the kind of the object is recognized. If the object's path follows a specific equation of motion, the path can be estimated only after the first detection. Otherwise, the simulation procedure estimates the object's path by tracking it. Simulation results show that the proposed method can effectively be applied to applications such as anti-air defence systems. To increase the signal to noise ratio and vastness of the coverage area around a specific point, a solution to optimally locate the radar sites, is presented. As the design parameters are conflicting, this is achieved using a multiobjective design technique.

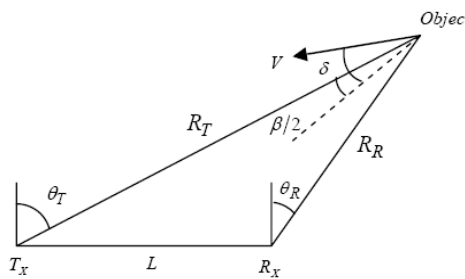
Keywords: Multistatic Radar, RCS, Radar Optimization, Genetic Algorithm.

* Corresponding Author E-mail: mohana@hamoon.usb.ac.ir

Passive Defence Sci. & Tech. 2011, 4, 241-264

۲. تئوری و تحلیل حل مسئله

برای تحلیل رادار مولتی استاتیک باید آن را به اجزای بای استاتیک تجزیه کرد. در رادار بای استاتیک محل فرستنده (T_x)، گیرنده (R_x) و هدف صفحه بای استاتیک را تشکیل می‌دهند. شکل (۱) ساختار یک رادار بای استاتیک را نشان می‌دهد. در این شکل R_T فاصله فرستنده تا هدف، R_R فاصله هدف تا گیرنده، L فاصله بین فرستنده و گیرنده، B زاویه بای استاتیک V سرعت هدف، β زاویه ظهور، θ_T زاویه ساعت‌گرد خط عمود با R_T و θ_R زاویه ساعت‌گرد خط عمود با R_R است [۲۱، ۸، ۱].



شکل ۱. ساختار کلی رادار بای استاتیک

۲-۱. محاسبه توان

اگر یک سیگنال باند باریک با توان P_T توسط فرستنده ارسال گردد، توان دریافتی هر گیرنده، P_{R_i} ، بعد از پراکندگی موج از شیء با استفاده از رابطه (۱) بدست می‌آید [۱]. در این رابطه طول موج فرکانس ارسالی، G_T و G_{R_i} گین توان آتنن فرستنده و آتنن‌های گیرنده، L_T و L_{R_i} به ترتیب تلفات سامانه فرستنده، گیرنده و انتشار در هر صفحه بای استاتیک هستند. همچنین در کلیه روابط زیر $n = 1, 2, \dots, i$ است و معروف شماره ایستگاه گیرنده است [۷].

$$P_{R_i} = \frac{P_T G_T G_{R_i}}{(4\pi)^n R_T^n R_{R_i}^n L_T L_{R_i} L_P} \quad (1)$$

۲-۲. تخمین محل شیء

جهت یافتن مکان شیء، هر گیرنده زمان بین ارسال سیگنال و دریافت سیگنال بازگشتی (ΔT_{TT_i}) را محاسبه و به کمک آن $R_{R_i} + R_T$ در هر صفحه بای استاتیک بدست می‌آید [۷، ۱].

$$(R_{R_i} + R_T) = c \Delta T_{TT_i}, \quad c = 2.998 \times 10^8 \quad (2)$$

۱. مقدمه

سامانه‌های رادار متداول امروزی، رادارهای مونو استاتیک هستند. رادارهای بای استاتیک نوع دیگری از رادارها هستند که در آنها فرستنده و گیرنده در فاصله‌ای قابل قیاس با بیشترین مسافت آشکارسازی شیء پرندۀ قرار گرفته‌اند [۱-۷]. اگر تعداد ایستگاه‌های فرستنده و گیرنده دو یا بیشتر گردد، رادار مولتی استاتیک^۱ گفته می‌شود [۸، ۲]. افزایش تعداد ایستگاه‌های فرستنده و گیرنده مزایای بسیاری دارد که استفاده از رادارهای مولتی استاتیک را توجیه می‌کند [۱، ۹، ۱۰]. زمینه‌های کاربرد فراوانی از این سامانه‌ها به‌طور نمونه استفاده در مصارف امنیتی [۱۱-۱۴]، سامانه‌های ناوبری کشتی‌ها [۱۵]، سامانه‌های کنترل ترافیک [۱۶]، سامانه‌های موقعیت‌یابی سراسری^۲ [۱۷، ۱۵] و تشخیص اهداف زمینی [۱۸، ۱۹] گزارش شده است. در [۲۰-۲۷] ردبایی اهداف توسط رادارهای بای استاتیک و مولتی استاتیک بررسی شده است.

در این مقاله یک رادار مولتی استاتیک که در فضای سه‌بعدی قادر به آشکارسازی اجسام پرندۀ در ناحیه تحت پوشش، محاسبه مکان، سرعت، مسیر و تشخیص نوع شیء پرندۀ با محاسبه سطح مقطع راداری^۳ آن است، شبیه‌سازی خواهد شد و در نهایت محل قرار گرفتن ایستگاه‌های رادار به کمک الگوریتم ژنتیک چند منظوره، به منظور بیشینه کردن سطح سیگنال به نویز و سطح پوشش رادار با کمترین تعداد ایستگاه رادار لازم، بهینه‌سازی خواهد شد.

در برخی از مقالات نظری [۲۵]، اساس ردبایی شیء با فرض مدل ثابت بودن سرعت است. در حالی که سرعت در حالت عمومی ثابت نیست. این فرض استفاده از الگوریتم را به اشیاء حاضر در مسافت‌های کم محدود می‌کند. در حالی که در الگوریتم شبیه‌سازی شده در این مقاله سرعت در هر بار آشکارسازی شیء قابل بهداشت آمدن است.

همچنین ویژگی مهم توانایی تشخیص نوع شیء پرندۀ وارد شده به منطقه تحت پوشش از طریق محاسبه پارامتر سطح مقطع رادار قابلیتی است که بسیاری از پژوهش‌ها نظری [۲۲، ۱۷، ۸] توانایی تشخیص آن را ندارند و آن را به صورت پارامتر ورودی در نظر می‌گیرند.

در زمینه بهینه‌سازی سامانه‌های رادار مقالاتی از قبیل بیشینه‌سازی دقیت برد [۲۸] و بهینه‌سازی سیگنال ارسالی رادارهای مولتی استاتیک در حوزه زمان [۲۹] انجام شده است. در این مقاله مسئله بهینه‌سازی مکان ایستگاه‌های رادار مولتی استاتیک به عنوان یک مسئله بهینه‌سازی چند منظوره جهت بیشینه ساختن سطح پوشش رادار و سیگنال به نویز انجام شده است.

¹ Multistatic Radar

² Global Positioning System (GPS)

³ Radar Cross Section (RCS)

$$\frac{dR_T}{dt} = \frac{\partial R_T}{\partial x} \times \frac{\partial x}{\partial t} + \frac{\partial R_T}{\partial y} \times \frac{\partial y}{\partial t} + \frac{\partial R_T}{\partial z} \times \frac{\partial z}{\partial t} \quad (10)$$

$$\frac{\partial R_{R_i}}{\partial t} = \frac{\partial R_{R_i}}{\partial x} \times \frac{\partial x}{\partial t} + \frac{\partial R_{R_i}}{\partial y} \times \frac{\partial y}{\partial t} + \frac{\partial R_{R_i}}{\partial z} \times \frac{\partial z}{\partial t} \quad (11)$$

برای یافتن موقعیت سه مجهول (x, y, z) و برای یافتن سرعت سه مجهول $\frac{\partial x}{\partial t}, \frac{\partial y}{\partial t}, \frac{\partial z}{\partial t}$ داریم، یعنی با داشتن یک ایستگاه فرستنده و دو ایستگاه گیرنده همه مجهولات بدست می‌آید. استفاده از تعداد بیشتر ایستگاه‌های گیرنده صرفاً منطقه تحت پوشش را می‌افزاید.

۴-۲. محاسبه RCS

روش‌های مختلف تحلیلی برای محاسبه RCS نظری [۳۰] و [۳۱] وجود دارد که در آنها RCS یک مخروط و موشک محاسبه شده است. RCS بسیاری اشیاء متدالو در منابع علمی نظری [۳۲، ۳۳] قابل یافتن است. RCS برخی از این اشیا در جدول (۱) آمده است.

جدول ۱. مقدار RCS بر برخی اشیا [۳۳]

شیء پرنده	RCS(dBsm)
جامبو جت مسافربری	۲۰
هوایپیمایی بمبا فکن	۱۰
هوایپیمایی جنگی بزرگ	۷.۷۸
هوایپیمایی جت چهار سرنشین	۳
موشک بالدار	-۳

۲. نتایج شبیه‌سازی

۱-۱. الگوریتم شبیه‌سازی

در فرایند شبیه‌سازی، ابتدا یک سیگنال با فرکانس و توان مشخص ارسال و سپس در صورت وجود شیء پرنده سیگنال بازتابیده شده از شیء به گیرنده بر می‌گردد و با استفاده از روابط (۱) تا (۶) مکان شیء مشخص می‌شود. سپس با اندازه‌گیری فرکانس‌های دریافتی و روابط (۷) تا (۱۱) سرعت شیء بدست می‌آید. در نهایت بعد از مشخص شدن R_T و R_{R_i} با یافتن مکان شیء و با اندازه‌گیری توان سیگنال‌های دریافتی، پارامترهای تلفاتی و استفاده از رابطه (۱)، RCS شیء به دست می‌آید. در نهایت با مقایسه RCS محاسبه شده با مقادیر موجود در جداولی نظری جدول (۱)، نوع شیء مشخص می‌شود.

سپس در هر صفحه بای استاتیک موقعیت شیء از طریق رابطه‌های زیر یافته می‌شود [۱].

$$R_{T_i} = \frac{(R_T + R_{R_i})^{\gamma} - L_i^{\gamma}}{\sqrt{(R_T + R_{R_i})^{\gamma} - L_i^{\gamma} \sin(\theta_i)}} \quad (3)$$

$$R_{R_i} = \sqrt{(R_{T_i}^{\gamma} + L_i^{\gamma} - 2R_T L_i \sin(\theta_i))^{\gamma}} \quad (4)$$

برای بدست آوردن موقعیت در مختصات دکارتی، اگر ایستگاه‌های فرستنده و گیرنده در موقعیت $(x_T, y_T, z_T)_i$ و $(x_{R_i}, y_{R_i}, z_{R_i})_i$ باشند، داریم:

$$R_T = \sqrt{(x - x_T)^{\gamma} + (y - y_T)^{\gamma} + (z - z_T)^{\gamma}} \quad (5)$$

$$R_{R_i} = \sqrt{(x - x_{R_i})^{\gamma} + (y - y_{R_i})^{\gamma} + (z - z_{R_i})^{\gamma}} \quad (6)$$

با ترکیب معادلات (۵) و (۶) با روابط (۳) و (۴) و (۲) و حل سه معادله سه مجهولی (x, y, z) که مختصات شیء پرنده در فضای سه بعدی هستند بدست می‌آید.

۲-۲. محاسبه سرعت جسم
برای تخمین سرعت در هر صفحه بای استاتیک، فرکانس داپلر در هر صفحه بای استاتیک محاسبه می‌شود [۱، ۸].

$$f_{d,b_i} = -\frac{1}{2} \left[\frac{dR_T}{dt} + \frac{dR_{R_i}}{dt} \right] \quad (7)$$

که در این رابطه:

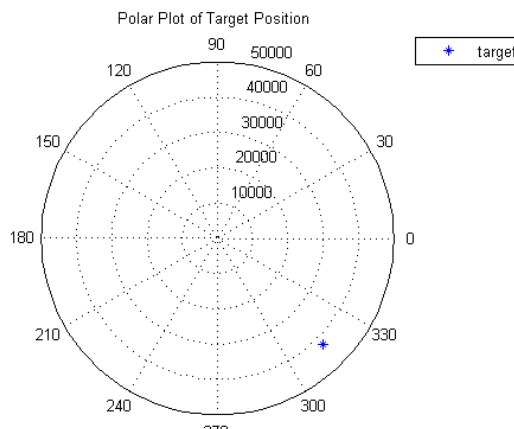
$$\frac{dR_T}{dt} = V_i \cos(\Delta_i - B/2) \quad (8)$$

$$\frac{dR_{R_i}}{dt} = V_i \cos(\Delta_i + B_i/2) \quad (9)$$

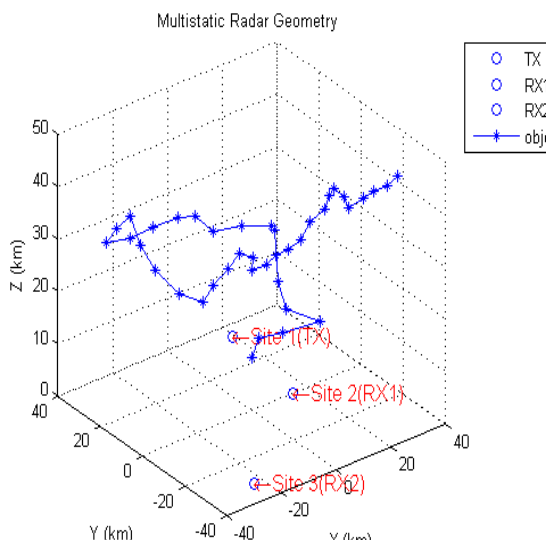
سرعت‌های استفاده شده در روابط بالا، سرعت در هر یک از صفحات بای استاتیک می‌باشند. برای رسیدن به سرعت کلی جسم، برنامه MATLAB نوشته شده، با استفاده از روابط (۸) و (۹) و مشتق‌گیری جزئی از روابط (۵) و (۶)، $\frac{\partial z}{\partial t}$ و $\frac{\partial y}{\partial t}$ و $\frac{\partial x}{\partial t}$ را یافت.

۴. بهینه‌سازی نتایج

فرآیند آشکارسازی بیان شده در صورتی که سطح سیگنال به نویز به حد کافی نباشد یا شیء خارج از سطح پوشش رادار باشد، مؤثر نخواهد بود.



شکل ۳. موقعیت هدف در مختصات قطبی



شکل ۴. مسیر حرکت هدف در فضای سه‌بعدی

برای افزایش سطح سیگنال به نویز و سطح پوشش رادار در اطراف یک نقطه خاص یک روش متداول افزودن تعداد ایستگاه‌های رادار است که از نظر اقتصادی بهصرفه نیست.

۳-۲. نتایج

فرض کنید ایستگاه فرستنده و دو گیرنده با G_{R_1} و G_{R_2} ، برابر 40dB در مکان‌های $(19, 34, 0)\text{km}$ ، $(15, 0, -31)\text{km}$ و $(-23, -31, 0)\text{km}$ قرار گرفته باشد. فرستنده سیگنالی با توان 35dBW در فرکانس 2GHz ارسال می‌کند، در صورتی که مقادیر ΔT_{TT} ، T_1 و T_2 بهتر تیپ برابر با 75.15deg و 63.5deg باشد و همچنین:

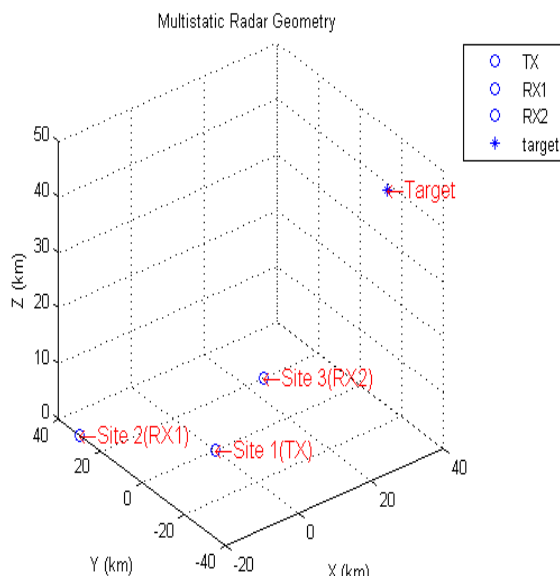
$$f_{R1} = 2.000002298\text{GHz}$$

$$\Delta_1 = -88.5\text{deg}$$

$$\Delta_2 = -136\text{deg}$$

$$1.999999628\text{GHz}$$

در این صورت مکان و سرعت محاسبه شده برای هدف در شکل‌های ۲ و ۳ مکان هدف در مختصات دکارتی و قطبی نشان داده شده است.



شکل ۲. موقعیت هدف در مختصات کارتزین

جهت محاسبه RCS شیء پرنده نیاز به اندازه‌گیری توان‌های دریافتی گیرنده‌ها و ارسالی فرستنده‌ها داریم. اگر P_{R_1} و P_{R_2} ، L_p و L_R هریک $-10.6.8\text{dBW}$ و -113.7dBW -باشند، با استفاده از رابطه (۱)، مقدار $7/28\text{dBsm}$.RCS می‌آید. که با توجه به جدول (۱)، شیء پرنده یک هواپیمای جنگی بزرگ است.

با نمونه برداری‌های متوالی مسیر حرکت شیء در فضای سه بعدی به دست می‌آید که در شکل (۴)، نمایش داده شده است.

۴-۴. محاسبه سطح پوشش

سطح پوشش رادار بای استاتیک، به واسطه بیشترین مسافت آشکارسازی که میزان توان ارسالی و سیگنال به نویز اعمال می‌کند و به‌وسیله خط دید مستقیم بین فرستنده و گیرنده که هندسه قرار گرفتن فرستنده، هدف، گیرنده و جهت آنتن‌ها آن را ایجاد می‌کند، محدود می‌گردد [۱۰, ۱۱].

از آنجا که محدودیت ایجاد شده به واسطه خط دید مستقیم به سیگنال به نویز ربطی ندارد در اینجا محدودیت ایجاد شده به واسطه توان و سیگنال به نویز در نظر گرفته می‌شود که در روابط (۱۶) تا (۱۸) آمده است [۱, ۲۲]. در این روابط L_i فاصله بین فرستنده و هر گیرنده است.

$$A_{B_1} \approx \left[1 - \left(\frac{1}{64} \right) \left(\frac{L_i^*}{k^*} \right) - \left(\frac{3}{16384} \right) \left(\frac{L_i^*}{k^*} \right)^2 \right] \quad (16)$$

for $L_i < 2\sqrt{R_T \cdot R_R}$

$$A_{B_2} \approx \frac{2 k^*}{L_i^*} \left[1 + \frac{2 k^*}{L_i^*} + \frac{12 k^*}{L_i^*} + \frac{100 k^*}{L_i^*} \right] \quad (17)$$

for $L_i > 2\sqrt{R_T \cdot R_R}$

$$A_{B_3} = 2, \quad \text{for } L_i = 2\sqrt{R_T \cdot R_R} \quad (18)$$

۵. قیود تعیین محل ایستگاه‌های رادار

فاصله ایستگاه‌های رادار بای استاتیک باید به گونه‌ای باشد که با بهینه بردن آشکارسازی هدف قبل قیاس باشد. بنابراین در تعیین محل بهینه ایستگاه‌های رادار باید قیودی بر روی L قرار داد تا رادار مولتی استاتیک محسوب شود. در هر صفحه بای استاتیک $R_T + R_{Ri}$ اما اگر $L_i \leq R_T + R_{Ri}$ بسیار کوچک‌تر از $(R_T + R_{Ri})$ گردد، از نقطه دید شیء، رادارها در یک مکان قرار گرفته‌اند و تبدیل به مونواستاتیک می‌گردد. بنابراین L_i باید بزرگ‌تر از $\frac{R_T + R_{Ri}}{2}$ باشد که در آن عدد بزرگی نیست. در این مقاله آن را در حدود ۴-۳ در نظر گرفتیم.

۵-۱. نتایج بهینه‌سازی محل ایستگاه‌های رادار

در اینجا جهت بهینه کردن نسبت سیگنال به نویز و سطح پوشش اطراف یک نقطه خاص برنامه متلب نوشته شد. در این برنامه نقطه مورد نظر km و پارامترهای اولیه را مشابه بخش ۳:

با توجه به تأثیر محل قرار گرفتن ایستگاه‌های رادار در سطح سیکنال به نویز و سطح پوشش رادار، روش ارائه شده در این پژوهش بهینه‌سازی محل قرار گرفتن ایستگاه‌های رادار جهت بهینه کردن این دو پارامتر با استفاده از کمترین تعداد ایستگاه رادار لازم برای آشکارسازی شیء در فضای سه بعدی است. از آنجا که این دوتابع هدف با یکدیگر در جنگ هستند، بهینه‌سازی به روش الگوریتم زنگیک چند منظوره برای رسیدن به این مقصد استفاده شد.

۴-۱. بهینه‌سازی چند منظوره

بسیاری از مسائل بهینه‌سازی در دنیای مهندسی بهینه‌سازی مسائل چند منظوره می‌باشند که در آنها چندین تابع هدف وجود دارد که باید به طور همزمان بهینه شوند. با تحقیقات به عمل آمده در طی سال‌های گذشته روش‌های مختلفی برای حل مسائل بهینه‌سازی چند منظوره به وجود آمده‌اند [۳۴]. در حقیقت یک تعریف پذیرفته شده عمومی از بهینه‌سازی به عنوان یک بهینه‌سازی تک هدف که مقایسه‌ای با بقیه پاسخ‌ها ایجاد کند، وجود ندارد. زیرا عموماً تصمیم اینکه کدام جواب بهتر است بستگی به نظر طراح دارد [۳۵, ۳۶]. بهینه‌یابی چند منظوره، به دست آوردن برداری از متغیرهای طراحی است که قیود را تأمین و اعداد مطلوبی را برای همه توابع هدف نتیجه دهد [۳۷, ۳۸].

۴-۲. تحلیل مسئله بهینه‌سازی

با توجه به اهداف ذکر شده، توابع هدف به صورت زیر تعریف می‌شوند. در این روابط SNR سیگنال به نویز و CA سطح پوشش رادار در هر صفحه بای استاتیک است.

$$\text{Objective 1} = \sqrt{\sum_{i=1}^r \text{SNR}_i} \quad (13)$$

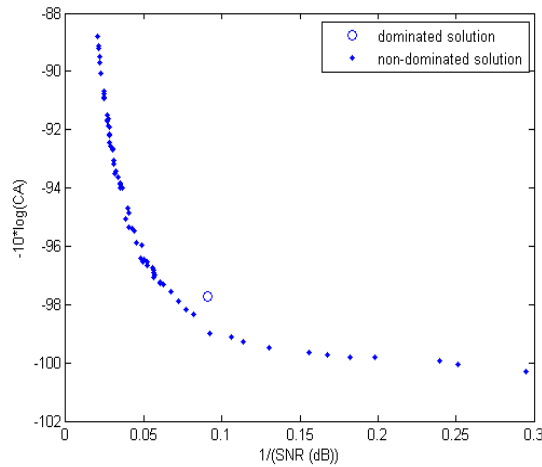
$$\text{Objective 2} = \sqrt{\sum_{i=1}^r \text{CA}_i} \quad (14)$$

۴-۳. محاسبه سیگنال به نویز

سیگنال به نویز رادار بای استاتیک از رابطه (۱۵) به دست می‌آید. در این رابطه F_T و F_R فاکتور انتشار پتانسیل فرستنده تا هدف و گیرنده تا هدف [۳]. $k = 1.3807 \times 10^{-۲۲}$ ، T_s ثابت بولتزمن، دمای نویز و پهنه‌ای باند نویز گیرنده می‌باشند.

$$\frac{S}{N} = \frac{P_T G_T G_R}{(4)^r R_T^r R_R^r L_T L_R k T_S B} F_T^r F_R^r \quad (15)$$

این دو تابع هدف با یکدیگر در تضاد بودند، برای دست یابی به این هدف، الگوریتم ژنتیک چند منظوره به کار گرفته شد. در بخش پایانی با استفاده از مکان‌های ایستگاه‌های فرستنده و گیرنده رادار که در مرحله بهینه‌سازی بدست آمد رادار دوباره شبیه‌سازی گردید و در فرآیند تخمین سرعت، مکان و مسیر شیء پرنده، نشان داده شد که میزان سیگنال به نویز و سطح پوشش نسبت به حالت قبل از بهینه‌سازی، افزایش یافته است.



شکل ۵. جواب‌های برتر رابطه بین سیگنال به نویز و سطح پوشش

۷. مراجع

- [1] Willis N. J. "Bistatic Radar."; Artech House, 1995.
- [2] "IEEE Standard Radar Definitions, 2008."; www.ieee.org
- [3] Skolnik M. I. "Radar Hand Book."; Second Edition, New York: McGraw-Hill, 1990.
- [4] Mahafza B. R. "Radar Systems Analysis and Design Using Matlab."; Second Edition: Chapman & Hall 2005.
- [5] Skolnik, M. I. "Introduction to Radar Systems."; 3rd ed. New York: McGraw-Hill, 2001.
- [6] Skolnik M. I.; "Introduction to Radar Systems."; 3rd Ed. New York: McGraw-Hill, 2001.
- [7] Kalantari, L. S.; Mohanna S.; Tavakoli S. "Detection, Identification and Tracking of Flying Objects in Three Dimensions Using Multistatic Radars."; Int. J. Com. Net. Sys. 2009, 2, 486-490.
- [8] Paolini, E.; Giorgetti, A.; Chiani, M.; Minutolo, R.; Montanari, M. "Localization Capability of Cooperative Anti-Intruder Radar Systems."; EURASIP J. Adv. Sig. Proc. 2008, 1-14.
- [9] Kalantari, L. S. "Simulation and Optimization of Multistatic Radars."; MSc Thesis, University of Sistan and Baluchestan, Zah., Iran, 2009.
- [10] Chang, W. "System Level Investigations of Television Based Bistatic Radar."; MSc. Thesis, University of Cape Town, S. A., 2005.
- [11] Wang, W. "Application of Near-Space Passive Radar for Homeland Security."; Sensing Imaging Inter. J. 2007, 8, 39-52.
- [12] Griffiths, H. D.; Baker, C. J. "Fundamentals of Tomography and Radar: Bistatic and Multistatic Sensors for Homeland Security."; Springer, 2006.

و $F_T = 2\text{GHz}$ ، $G_T = 35\text{dBW}$ ، $P_T = 7.78\text{dBm}$ ، $-3\text{dB} T_s = 30^\circ \text{K}$ ، $L_T = L_R = 520\text{MHz}$ در نظر گرفته شد. در نهایت با به کارگیری الگوریتم ژنتیک چند منظوره، شکل (۵) بدست می‌آید که رابطه بین سیگنال به نویز و سطح پوشش را نشان می‌دهد. در این شکل نقاط برتر با نقطه و نقطه غیر برتری که بدون بهینه‌سازی مکان ایستگاه‌های رادار در بخش ۳ بدست آمد با دایره نشان داده شده است که در آن $CA = 5.9 \times 10^{-9} \text{m}^2$ و $SNR = 11.02\text{dB}$ است. در جدول (۴) تعدادی از نقاط بهینه آمده است.

۸. انتخاب نقطه برتر

بعد از بدست آمدن نقاط بهینه مسئله‌ای که مطرح می‌شود این است که کدام یک از نقاط بالا را انتخاب کنیم. همان‌طور که از نتایج مشهود است، بهترین نقاطی که بیشترین مقدار تابع هدف اول را داریم، به کمترین مقدار تابع هدف دوم می‌رسیم و بالعکس. بنابراین این دو تابع هدف با هم ناسازگار هستند. ایجاد یک مصالحه بین جواب‌های برتر مسئله و انتخاب یکی از آنها به طرز تفکر تصمیم‌گیرنده بستگی دارد.^[۳۶]

بنابراین جواب نهایی مسئله از فرایند بهینه‌سازی و تصمیم‌گیری تعیین می‌گردد.^[۳۵] جواب نهایی با انتخاب پاسخی که به طور مناسب اهداف طراحی را تأمین می‌کند، تعیین می‌شود. برای مثال در شکل (۵) پاسخ‌هایی که $CA < B < SNR < A$ را می‌دهند از سطح‌های بهینه انتخاب می‌شوند. مقدار A و B به طور مناسب توسعه طرح انتخاب می‌شوند.

به طور مثال، اگر پوشش دادن یک سطح وسیع برای طراح اهمیت دارد و تعیین دقیق نوع شیء از اهمیت کمتری برخوردار است، از نقاطی که CA بزرگ‌تری دارند استفاده می‌کنیم و بالعکس در مواردی که تشخیص دقیق نوع شیء دارای اهمیت است، نقاطی که SNR بزرگ‌تری دارند انتخاب می‌شوند. در واقع ارائه مجموعه جواب به جای جواب تک، امکان آزادی انتخاب را برای طراح فراهم می‌آورد که این از مزایای حل مسئله با روش‌های بهینه‌سازی چند منظوره در مقابل روش‌های بهینه‌سازی تک هدفه است.

۹. نتیجه‌گیری

در این مقاله یک رادار مولتی استاتیک با قابلیت تخمین مکان، سرعت، مسیریابی و تشخیص نوع شیء پرنده در فضای سه‌بعدی شبیه‌سازی گردید. جهت افزایش میزان سیگنال به نویز و سطح پوشش اطراف نقطه خاص مورد نظر به جای افزودن تعداد ایستگاه‌های راداری، مسئله تعیین موقعیت ایستگاه‌های فرستنده و گیرنده در مکان بهینه شبیه‌سازی شد. هدف بهینه‌سازی رسیدن به بیشترین میزان سیگنال به نویز و سطح پوشش رادار بود. از آنجا که

- [26] Derham, T. E.; Doughty S.; Woodbridge, K.; Baker, C. J. "Design and Evaluation of a Low-Cost Multistatic Netted Radar System."; IET Radar Son. Nav. 2007, 1, 362-368.
- [27] Kong, C. Y.; Hadzer, C. M.; Mashor, M. Y. "Radar Tracking System Using Neural Networks."; International Journal of the Computer, the Internet and Management 1998, 6, 1-7
- [28] Chen, B.; Liu, H.; Bao, Z. "An Efficient Kernel Optimization Method for Radar High-Resolution Range Profile Recognition."; EURASIP Journal on Advances in Signal Processing 2007, 1, 1-10 .
- [29] Deonda, A. T. "Optimal Space-Time Transmit Signal Design for Multi-Static Radar."; MSc. Thesis, University of Kansas, 2005.
- [30] Mosayebi-Dorcheh, T.; Kalantari, L. S.; Mohanna, S.; Tavakoli, S. "Electromagnetic Scattering from an Infinite Dielectric Cone."; PIERs, Russia, 2009.
- [31] Kalantari, L. S.; Mosayebi-Dorcheh, T.; Mohanna, S.; Tavakoli, S. "Missile Radar Cross Section Calculation and Its Use in 3-D Anti-Missile Defense System."; PIERs, Russia, 2009.
- [32] Wiesbeck, W. "Radar System Engineering."; 13th Edition, IHE, 2007.
- [33] Balanis, C. A. "Antenna Theory: Analysis and Design."; 3rd Ed., John Wiley, 2005.
- [34] Carlos, A.; Coello, C. "A Comprehensive Survey of Evolutionary-Based Multiobjective Optimization Techniques."; Knowledge Inf. Sys. Int. J. 1999, 269-308.
- [35] Tavakoli, S. "Multivariable PID Control with Application to Gas Turbine Engines."; PhD Thesis: University of Sheffield, Sheffield, 2005.
- [36] Tavakoli, S.; Griffin, I.; Fleming, P. J. "Multi-Objective Optimization Approach to the PI Tuning Problem."; Presented at IEEE Cong. Evol. Comp. 2007.
- [37] Coello, C. A.; Christiansen, A. D. "Multi Objective Optimization of Trusses Using Genetic Algorithms."; Computers and Structures 2000, 75, 647-660.
- [38] Osyezka, A. "Multi Criteria Optimization for Engineering Design."; Academic Press, New York, 1985.
- [13] Byrnes, J.; Ostheimer, G. "Advances in Sensing with Security Applications."; Springer, 2005.
- [14] Withington, P.; Fluhler, H.; Nag, S. "Enhancing Homeland Security with Advanced UWB Sensors."; IEEE Microwave Magazine 2003, 4, 55-58.
- [15] Theo, J.; Mazaheri, M.; Balaei, A. T.; Dempster, A. G. "The Application of a Multicorrelator Receiver in Bistatic Radar."; IGNSSS Conf., Australia, 2007.
- [16] Abdullah, A.; Ismail, A. "Forward Scattering Radar Current and Future Application."; Int. J. Eng. Tech. 2006, 3, 61-67.
- [17] Glennon, E. P.; Dempster, A. G.; Rizos, C. "Feasibility of Air Target Detection Using GPS as a Bistatic Radar."; Journal of Global Positioning Systems 2006, 5, 119-126.
- [18] Mishra, A.; Mulgrew, B. "Ground Target Classification for Airborne Bistatic Radar."; EMRS DTC Tech. Conf. 2004, Edinburgh.
- [19] Cherniakov, M.; Sizov, V.; Antoniou, M.; Rashid, E.; Jankovic, P.; Myakinkov, A.; Kuzin, A. "Easily Deployable, Multi-Functional Radar Network."; 5th EMRS DTC Technical Conference 2008, Edinburgh.
- [20] Soares, G. L.; Arnold-Bos, A.; Jaulin, L.; Maia, C. A.; Vasconcelos, J. A. "An Interval-Based Target Tracking Approach for Range-Only Multistatic Radar."; IEEE Transactions on Magnetics 2008, 44, 1350-1353.
- [21] Johnsen, T.; Olsen, K. E. "Bi- and Multistatic Radar."; Ad. Radar Signal and Data Processing 2006, 4, 1-36.
- [22] Teo C. L. "Bistatic Radar System Analysis and Software Development."; MSc. Thesis, Naval Postgraduate School, Monterey, California, 2003.
- [23] Nag, S.; Barnes, M. "A Moving Target Detection Filter for an Ultra-Wideband Radar."; IEEE Radar Conference 2003, 147-153.
- [24] Farina, A. "Tracking Function in Bistatic and Multistatic Radar Systems."; IEE Proceedings 1986, 133, 630-637.
- [25] Chongyu, W.; Shanjia, X.; Dongjin, W. "Analysis of Target Tracking Based on Range Difference Measurement of Multistatic Radar System."; Journal of Electronics 2000, 17, 297-303.